

### 海岸堤防前面の洗掘・吸い出しに關する実験的考察

高知大学農学部 ○玉井 佐一, 上森 千秋

#### 1. まがき

海岸堤防前面の洗掘機構については、涌浪および波特性等の複雑さから十分な結果は得られておらず、現状では堤防前面にブロック等を設置して洗掘の軽減をはかる手段がとられている。しかし、このような工法は場合によって却って洗掘を拡大させるという報告が得られており、根本的の解決にはなっていない。最近10年間に於ける高知海岸の台風来襲による被災状況と発生原因についてこれを被災原因は海岸侵食に於ける訂誤が後退し、涌浪幅が40m以下に所浪勾配が比較的急な地帯である。そこで、そのほかに堤防脚部の洗掘さしに中詰土砂の吸い出しに於ける崩壊に於ける。したがって、本研究では堤防前面の洗掘機構および堤防中詰土砂の吸い出しに於ける被災機構と実験に於ける検討を主として、被災特性を明らかにし、いかに堤防決壊防止対策について考察しようとするものである。

#### 2. 実験設備および実験手法

実験は長さ30m、幅70cm、深さ1.2mの二次元波浪水槽で行った。この水槽の一端に中央粒径 $d_{50} = 0.35\text{mm}$ の自然砂に於ける勾配 $\alpha = 1/10$ の砂浜を作成し、陸地部に長さ70cm、幅20cm、高さ30cmの箱形の直立堤防模型を設置した。この堤防には涌浪の中心に同じ粒径の砂を堤脚の幅より20cmの高さまで填充し中詰した。堤防根入れ水深 $Z_0 = 3\text{cm}$ 、5cmおよび10cmとし、涌浪幅 $X_B = 0$ 、5、10cmおよび $\alpha = 15\text{cm}$ に於ける実験を行った。実験波の周期 $T = 1.0 \sim 1.8\text{sec}$ 、波高 $H = 5 \sim 23\text{cm}$ の沖波波の勾配 $H_0/L_0 = 0.024 \sim 0.070$ とした。実験中の入射波の測定は容量式波高計を用いてオシログラフに記録し沖波波高に換算した。涌浪地形の変化は砂面測定器を用いて測定した。

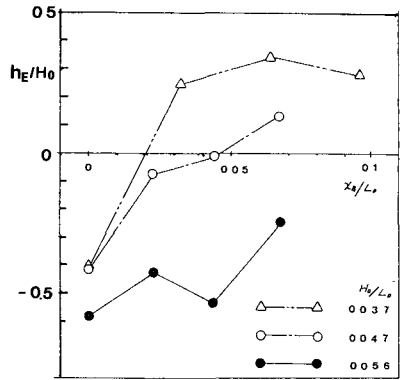


図-1

#### 3. 実験結果とその考察

図-1は堤防脚部洗掘深 $h_E$ と沖波波高 $H_0$ との比 $h_E/H_0$ を縦軸とし、横軸に涌浪幅 $X_B$ と沖波波長 $L_0$ との比 $X_B/L_0$ をとって $H_0/L_0$ 別に示したものである。これは、涌浪幅が小さい程洗掘深 $h_E/H_0$ は大きく、 $X_B = 0$ の洗掘深が最も大きくなることを示している。また、同じ涌浪幅でも $H_0/L_0$ が大きい程洗掘深が大きくなる傾向がある。このような堤防脚部洗掘の発生限界については縦軸に $H_0/L_0$ 、横軸に $H_0/(\gamma/\delta - 1)d_{50}$ をとって示したものが図-2にある。 $\delta$ : 水の密度、 $\gamma$ : 砂の密度( $\gamma = 2.65$ )である。図中●印は堤防脚部の洗掘が発生し、○印は発生しない場合である。この限界線は図中の実験のほうに引くことができる。なお、図中に実験線は岩垣・野田による侵食、地盤の発生限界である。なお、図-2の実験結果は $X_B/H_0 = 0 \sim 3$ の範囲に於けるものであり、さらに右範囲については検討を進める必要がある。次に、縦軸に堤防脚部の地形変化高率比は洗掘深 $h_E/H_0$ 、横軸には涌浪変化後の破砕長さの平均涌浪勾配 $\alpha$ と $(H_0/L_0)^{1/2}$ とを、それぞれIrribarra数 $I_{rr} = \alpha / (H_0/L_0)^{1/2}$ とすると示したものが図-3である。 $h_E/H_0$ と $I_{rr}$ とは直線的な関係がみられ、 $h_E/H_0$ が負の値を示す洗掘が生じるとは

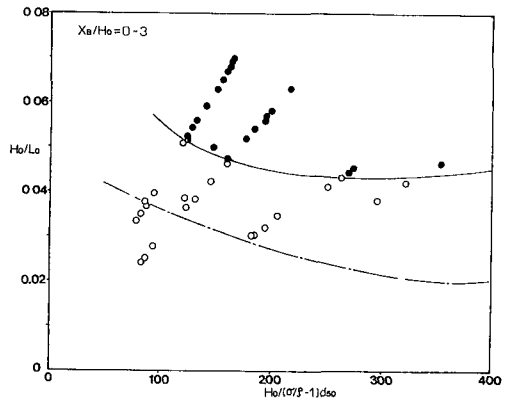


図-2

図-3は、縦軸に堤防脚部の地形変化高率比は洗掘深 $h_E/H_0$ 、横軸には涌浪変化後の破砕長さの平均涌浪勾配 $\alpha$ と $(H_0/L_0)^{1/2}$ とを、それぞれIrribarra数 $I_{rr} = \alpha / (H_0/L_0)^{1/2}$ とすると示したものが図-3である。 $h_E/H_0$ と $I_{rr}$ とは直線的な関係がみられ、 $h_E/H_0$ が負の値を示す洗掘が生じるとは

$i/(H_0/L_0)^{1/2} < 0.5$  であることがわかった。また Irribarren 数が小さく低波で、洗掘深が大きいとき、 $X_B/H_0 = 0$  で  $h_E/H_0 = -0.6$  である。

また、堤脚部の洗掘が進行すると、基礎の浸入水深が下方する場合、基礎下踏の隙間から中詰砂の吸い出しが起る。図-4は縦軸に堤壁面の波の逆上高  $R$  と堤脚浸入水深  $Z_B$  の比  $R/Z_B$  をとり、横軸には  $H_0/(\sigma/P-1)d_{50}$  ととり、中詰砂の吸い出し発生限界を示したものである。この場合  $R \geq (2 \sim 2.3) Z_B$  とすると、中詰砂の漏れは生じないことがわかった。

したがって、本実験では  $Z_B = 3 \text{ cm} \sim 10 \text{ cm}$  における結果が  $Z_B/H_0 = 0.1 \sim 3.3$ ,  $X_B/H_0 = 0 \sim 3$  の範囲にある。また、図に示したように、 $H_0/(\sigma/P-1)d_{50} > 250$  の範囲の実験は行われ、この範囲でも中詰砂の漏れが起る。また、実験において壁体  $70 \text{ cm} \times 20 \text{ cm} \times 20 \text{ cm}$  の中詰砂の単位面積当りの漏れ量  $V$  と  $H_0/L_0$  の比を縦軸に、横軸に  $R/Z_B$  ととり、その関係が図-5にある。この場合、中詰砂の漏れ量  $V/H_0L_0$  と  $R/Z_B$  とはほぼ直線的な関係がみられ、堤脚基礎浸入水が浅い場合に漏れ量は大きくなる。また  $V/H_0L_0$  の最大値は約 0.12 であり、今後これについて検討を進める予定である。

4. あとがき

本実験における堤脚部洗掘が時間的変化による最大洗掘深に達する時間は涌浪幅  $X_B = 5 \text{ cm}, 10 \text{ cm}$  の場合 60 sec, 90 sec であり、 $X_B = 0$  においては 30 sec となつてゐる。また、いずれの場合も中詰砂の吸い出しが生じてゐるが、これは脚部の埋込みが浅いからである。また、堤脚部は本堤の外に基礎工事の基礎工を考慮してゐる。実験中は堤脚からの越波は常に状態を行つてゐる。今後の中詰砂の条件、堤脚構造等を考慮して検討を進める予定である。なお、本研究は昭和三十八年度自然災害学研(代表上巻)の研究成果の一部である。

参考文献：1)豊島修：海岸構造物の海岸災害，地形，第3巻，第2号，pp.129~134，1982。2)石井浩一：海岸の諸現象，図4に示す水災害の予測とその防止軽減に關する研究，昭和三十八年度研究，自然災害学研 研究報告書(代表，徳大工 尾島勝) pp.51~59，1982。3)水理公文集，昭46年版。

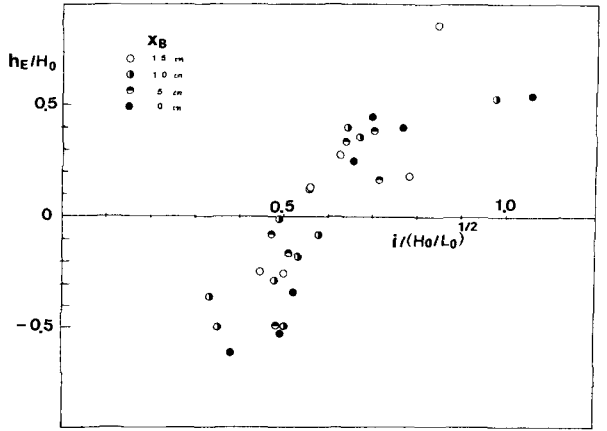


図-3

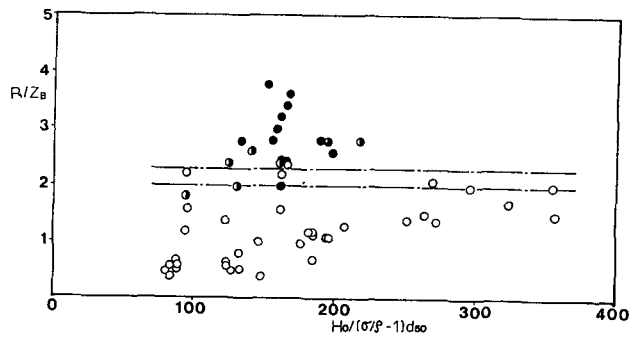


図-4

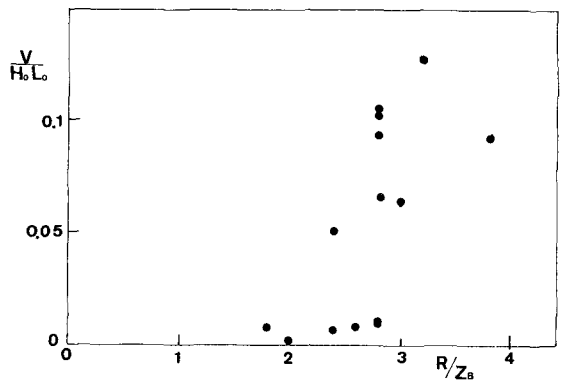


図-5